

## 砂の動的貫入抵抗に関する一室内実験

愛媛大学工学部 八木 則男 矢田部 龍一 大学院 武智 修  
八重建設コンサルタント ○大西 勤一

### 1. まえがき

貫入試験もある拘束条件、ある排水条件下の土の力学試験とみなすと、貫入試験結果には強度に関する定数や排水条件それに土のダイレイタニシー特性などの影響が大きくあらわれるので、内部摩擦角 $\phi$ や相対密度 $D_r$ を正しく推定するにはこれらの条件を評価することが大切である。このような立場に立って、筆者らは砂地盤との動的貫入試験における飽和度や排水条件、さらにダイレイタニシー特性の影響を室内模型実験を行なって調べ、すこし定性的に明らかにしたが、今回はこれを定量化し、さらに貫入抵抗にどの程度影響するか調べ考察を加えた。

### 2. 実験方法

図-1に試験に用いた装置の概要を示す。上載圧はゴム膜を介して空気圧で与えられる。間隙水压は砂槽中央と中央より $2.33\text{ cm}$ (コーン外端 $1\text{ cm}$ )の位置に上下 $5\text{ cm}$ 間隔で設置した硬質ビニール管に接続された水圧計で記録される。水圧計の測定深度が貫入開始時点でのコーン下端深度に対応する。

コーン諸元は図中に示す。ロッドの周面にはテフロンシートを巻き、また又重管にして周面抵抗をなくした。砂質地盤の試料には豊浦標準砂を用いた。動的貫入試験は、地盤の条件として上載圧を $0.5, 1.0, 1.5\text{ kN}$ 、試料の状態を乾燥、飽和を変え、さらに飽和地盤の場合は排水条件を排水、非排水と変えて実験を行なった。動的貫入は、 $3.88\text{ kg}$ の落錘を $24\text{ cm}$ の高さから落下衝突することにより行なった。なお飽和地盤の試料は脱気処理を行ない、実験時には、 $1.0\text{ kN}$ のバックプレッシャーを与えて地盤の飽和度をあげた。

### 3. 実験結果と考察

図-2a, 2bに貫入抵抗 $N$ と体積変化量 $\Delta V$ とに貫入量 $\delta$ の関係を示す。 $N$ - $\delta$ 関係を見ると、支持力理論から考えると本実験のように上載圧に比べて砂の自重を無視する場合には、貫入初期を除いて貫入抵抗は貫入量に関係なく一定となる。ところが実験結果からは、ゆるい状態では貫入抵抗は一定となるのに対して、密な状態では貫入量の増加に対して貫入抵抗が直線的に増加する傾向にある。この現象は、おそらく砂槽の拘束条件や砂のダイレイタニシー特性が影響していると思われる。

また体積変化量は、密な状態で $10\text{ cm}^3$ 、ゆるい状態では、 $30\text{ cm}^3$ もの排水を生じ、両状態とも貫入量の増加に伴いほぼ直線的に排水量が増加していく。この貫入に伴う体積変化には等方応力の増加によるものと、せん断変形によるもののふたつの成分が含まれるが、本実験結果からみると、等方応力の増加によるものより、せん断変形による体積変化の方が卓越していると思われる。

図-3に動的貫入試験と静的貫入試験の $\Delta V$ と $\delta$ の関係を示す。これからゆるい状態、密な状態とともに動的貫入試験の方が、数 $\text{cm}^3$ 排水量が増えている。

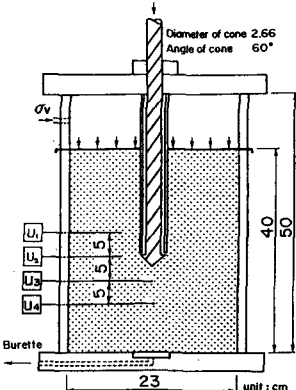


図-1 実験装置の概略図

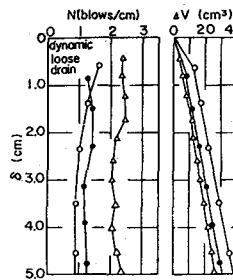


図-2a  $\delta$ - $N$ - $\Delta V$ の関係

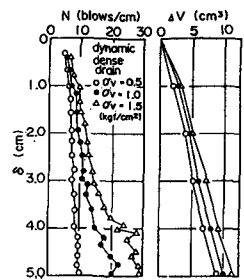


図-2b  $\delta$ - $N$ - $\Delta V$ の関係

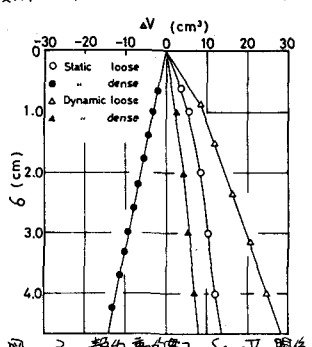


図-3 静的・動的貫入の $\delta$ - $\Delta V$ の関係

のがわかる。静的貫入試験に比べて動的貫入試験の方が、排水量がかなり多くなるのは、動的貫入機構が繰り返しせん断現象に類似しているため、静的貫入試験に比べて、体積圧縮の影響を受けているためだと考えられる。

図-4に $N$ 値と初期間隙比 $e_0$ の関係を示す。これは、前回示したものと同様な結果である。この飽和、乾燥、あるいは排水、非排水の地盤条件の違いによる貫入抵抗の相違は、図-5、図-6に示した地盤のダイレイテンシー特性に合致して打撃時発生水圧と残留水圧に因る<sup>1) 2)</sup>ことであることはすぐには察せられた。図-5、図-6ともにコーン下端部にセッティングした測点3<sup>2)</sup>は、地盤の間隙比にかかわらず打撃直後に正の過剰間隙水圧が、またコーン側面の測点1<sup>2)</sup>は打撃直後に負の過剰間隙水圧が発生する<sup>1) 2)</sup>。これは、コーン直下は圧縮領域であり、コーン側面はせん断領域であるとともに打撃時に発生する水圧は位置的にも距離的にも非常に複雑な分布をなす<sup>1) 2)</sup>と思われる。

ところで、前報<sup>2)</sup>の考察では、コーンより5cmの位置で測定した打撃時に発生する動的水圧や残留水圧だけではなく、貫入抵抗の差異を完全には定量的に説明できなかっただ。図-7は静的貫入試験時にコーン下端部および側面部で直接に測定した水圧である。これからみるとコーン近傍<sup>2)</sup>は非常に大きい正負の過剰間隙水圧が発生する<sup>1) 2)</sup>ことわかる。これらから推定すると動的貫入試験時にもコーン近傍<sup>2)</sup>は、図-5、図-6に示す動的水圧よりもかなり大きな水圧が発生する<sup>1) 2)</sup>と考えられる。図-8は

室らによるウォータージェットの室内実験結果である。図-5 打撃時の過剰間隙水圧 (loose)  
 $P$ は貫入抵抗 $N$ から上載圧から先端<sup>2)</sup>の水圧を引いたものである。これから、  
 $P$ は<sup>3)</sup>ヒー慈的関係にあり先端部の水圧に貫入抵抗は大きく支配される<sup>1) 2)</sup>ことがわかる。これから考えると前報<sup>2)</sup>の考察はコーン近傍<sup>2)</sup>の動的水圧<sup>2)</sup>を考えれば、よく説明できると思われる。

#### 4. あとがき

本実験から、打撃時に発生する動的水圧や静的水圧が動的貫入抵抗に大きな影響を与える

ことが明らかになりた。今後は、貫入時のコーン先端部の動的貫入機構を<sup>2)</sup>と明確にするとともに、ポアーリッシュコーンを作成して、水圧分布を測定し、この水圧分布が貫入機構に与える影響を考えようとする。

#### 参考文献

- 1) 八木・鹿・矢田部・森田：室内実験による動的貫入試験に関する考察、第16回土質工学研究発表概要集、1981
- 2) Yagi・Enoki・Yatabe: Influence of Pore Water Pressure on Dynamic and Static Penetration Testings, ESOPT II, 1982
- 3) 堂・鹿・河原：低振動・低騒音施工法の施工法と支承力に関するシンポジウム、ウォータージェットの打込み抵抗低減効果について、1982
- 4) 八木・矢田部・武智・大西：砂の静的貫入抵抗に関する一室内実験、第17回土質工学研究発表概要集、1982

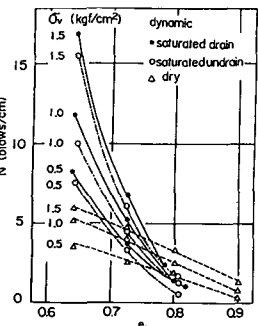


図-4  $N$ ～ $e_0$ の関係

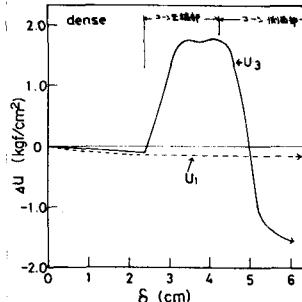
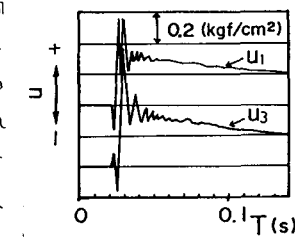


図-6 打撃時の過剰間隙水圧 (dense)

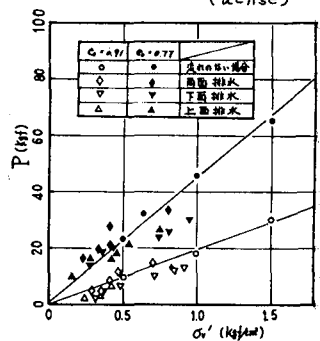


図-7 コーン近傍の過剰間隙水圧

図-8  $P$ ～ $\delta'$ の関係

